МИНИСТЕРСТВО ГЕОЛОГИИ СССР

Размножено 6 экз.

ГЕОЛОГИЧЕСКАЯ КАРТА

Масштаб 1:50000

J-38-45-A

Стратиграфическая колонка

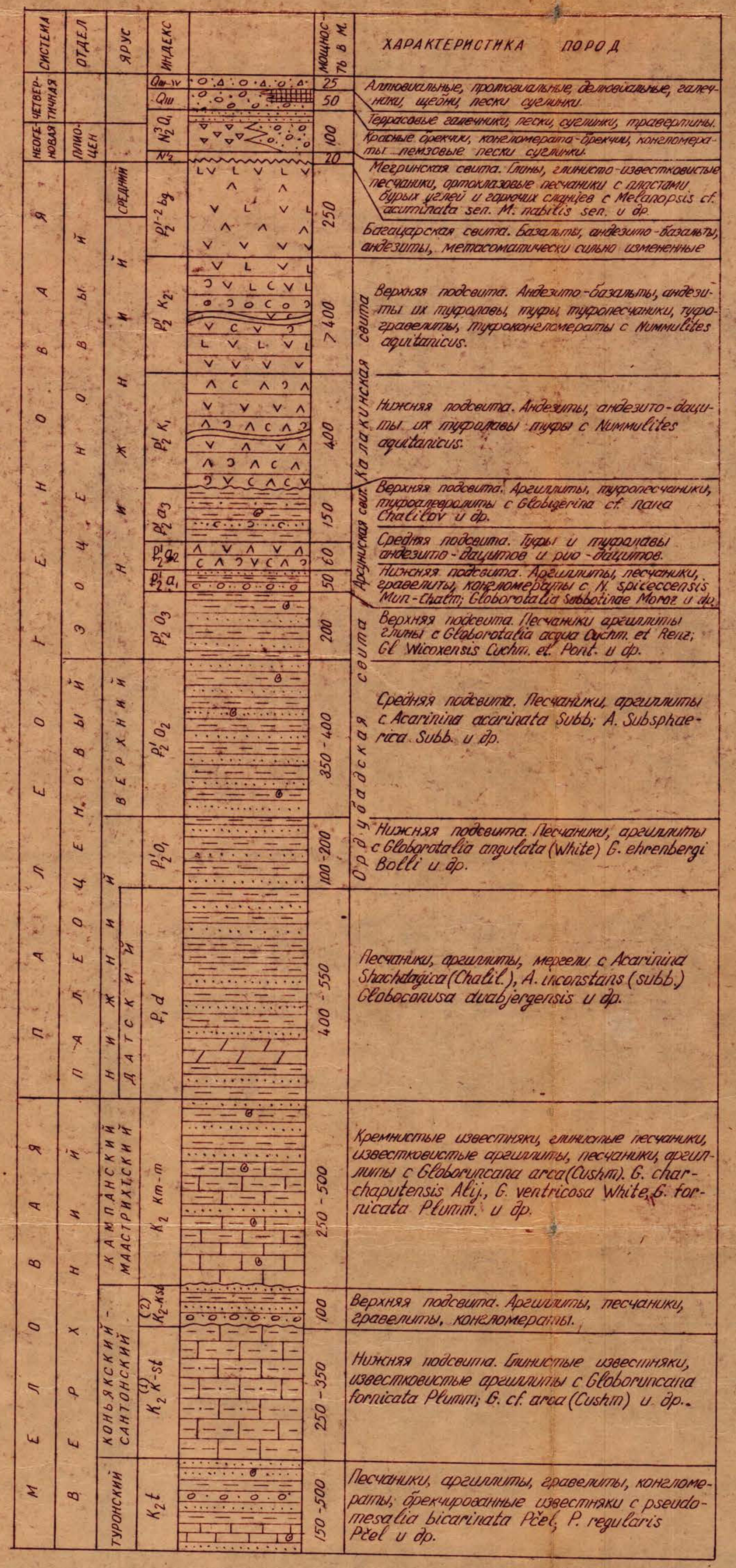

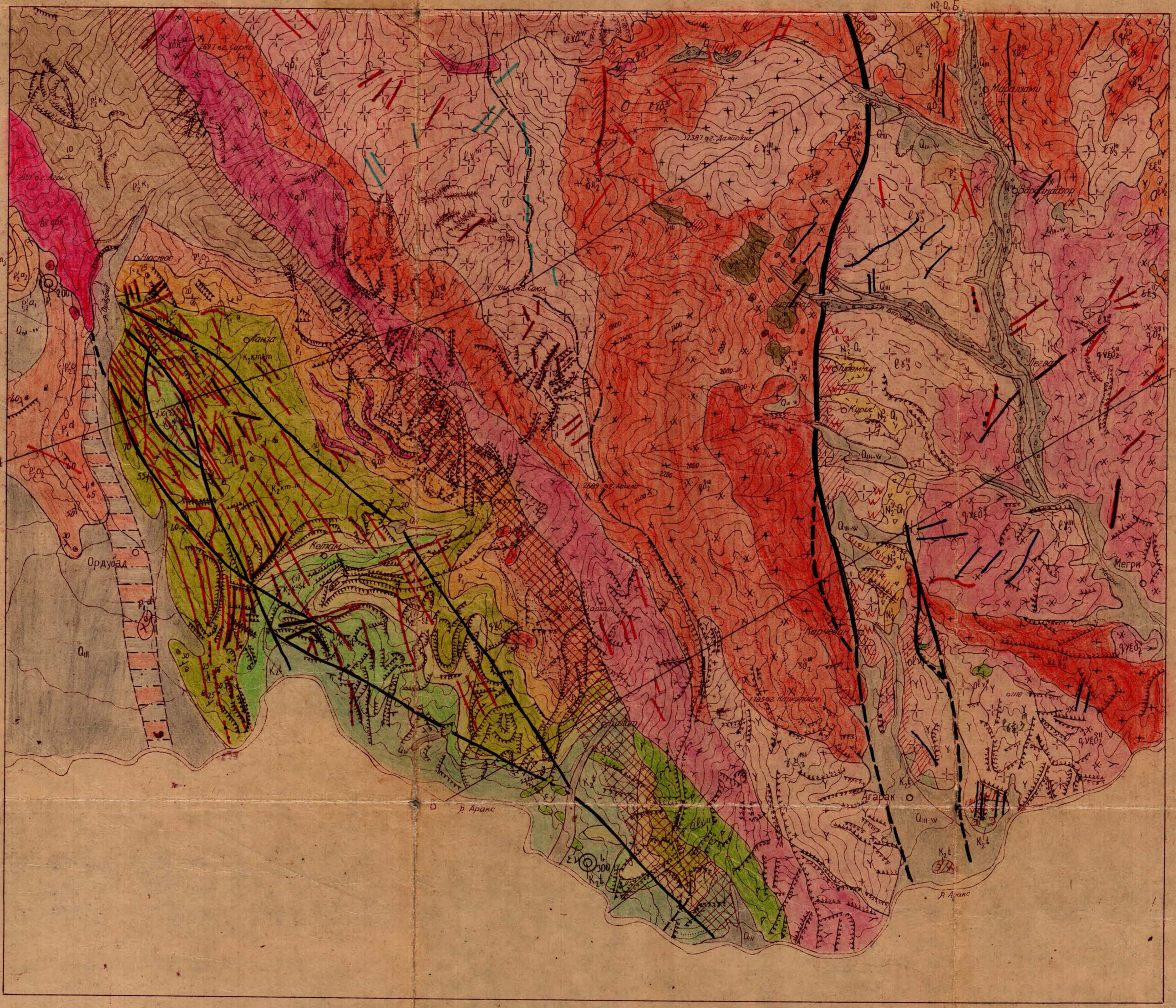

Схема расположения листов

Схема использованных материалов

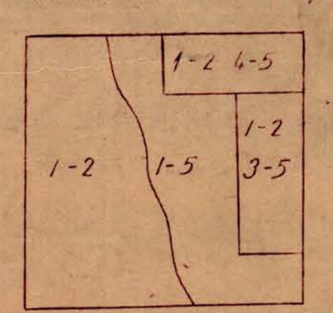

1. Адамян А.И., Вегуни А.Т., Исаханян А.Е. 1:50000 1958 г.
2. Карамян К.А., Гуюмджян О.П., Джрбашян Р.Т., Таян Р.Н. и др. 1:50000 1977г.
3. Ходжабагян Г.С., Марченко Ю.Ф. и др. 1:10000 1981г.
4. Абикян Н.Г., Марченко Ю.Ф. и др. 1:10000
5. Джафаров А.А. 1:50000 1973 г.

Разрез по линии А-Б

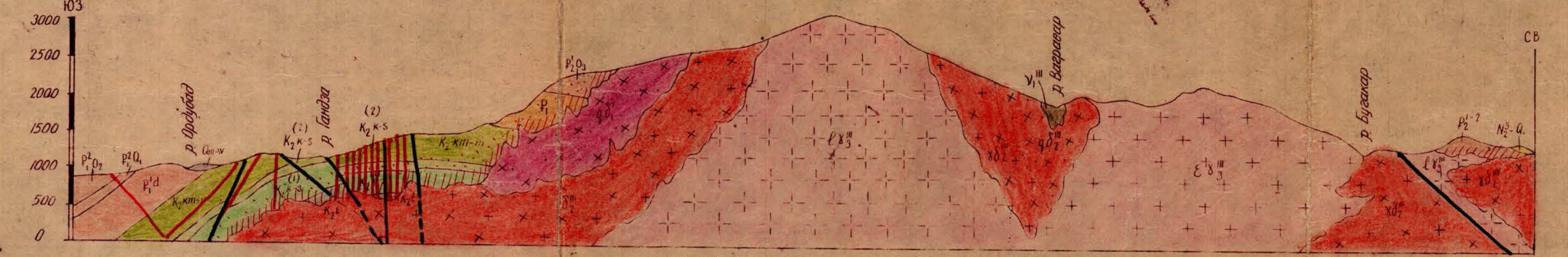

Разрез по линии В-Г

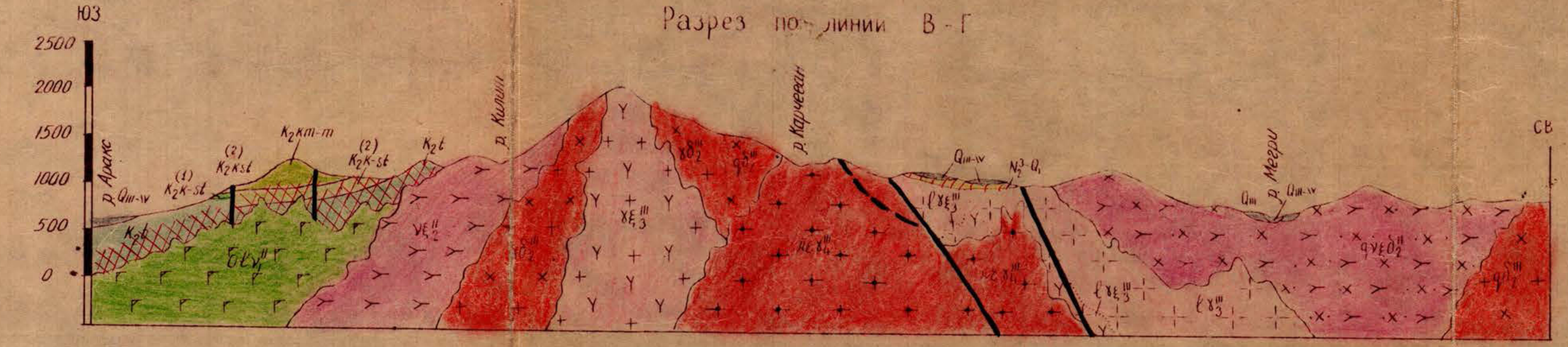

Условные обозначения

Четвертичная система

- Q_{III-IV} — Верхнечетвертичные современные отложения. Аллювиальные, пролювиальные, делювиальные галечники, щебни, пески, суглинки.
- Q_{III} — Верхнечетвертичные отложения. Террасовые галечники, пески, суглинки, травертины.
- $N_2^3-Q_1$ — Верхнеплиоцен-нижнечетвертичные отложения. Красные брекчии, конгломерато-брекчии, конгломераты, пемзовые пески, суглинки.

Неогеновая система

- N_2^1 — Нижний плиоцен, Мегринская свита. Глины, глинисто-известковистые песчаники, аркозовые песчаники, с пластами бурых углей и горючих сланцев.

Палеогеновая система. Эоцен нижний

- P_2^{1-2} — Нижний средний эоцен. Богацарская свита. Базальты, андезито-базальты, андезиты метасоматические сильно измененные

Калакинская свита

- $P_2^1 k_2$ — Верхняя подсвита. Андезито-базальты, андезиты их туфолавы, туфы, туфопесчаники, туфоалевролиты туфоконгломераты.
- $P_2^1 k_1$ — Нижняя подсвита, Андезиты, андезито-дациты их туфолавы туфы

Арсуинская свита

- $P_2^1 a_3$ — Верхняя подсвита. Аргиллиты, туфопесчаники, туфоалевролиты
- $P_2^1 a_2$ — Средняя подсвита. Туфы и туфолавы, андезито-дацитов. и рио-дацитов.
- $P_2^1 a_1$ — Нижняя подсвита. Аргиллиты, песчаники, гравелиты, конгломераты.

Ордубадская свита (палеоцен верхний)

- $P_2^1 o_3$ — Верхняя подсвита. Песчаники, аргиллиты, глины.
- $P_1^2 o_2$ — Средняя подсвита. Песчаники, аргиллиты.
- $P_2^1 o_1$ — Нижняя подсвита. Песчаники, аргиллиты.

Палеоцен нижний

- $P_1 d$ — Датский ярус. (а) Песчаники, аргиллиты, мергели, (б) то же предполагаемые подчетвертичными отложениями
- P_1 — Неразделенный. Аргиллиты, алевролиты, песчаники, мергели.

Меловая система. Верхний отдел

- $K_2 km-m$ — Кампанский и маастрихтский ярусы. Кремнистые известняки, глинистые известняки, известковистые аргиллиты, песчаники, аргиллиты,

Коньякский и сантонский ярусы

- $K_2 k-st^{(2)}$ — Верхняя подсвита. Аргиллиты, песчаники, гравелиты, конгломераты.
- $K_2 k-st^{(1)}$ — Нижняя подсвита. Глинистые известняки, известковистые аргиллиты.
- $K_2 t$ — Туронский ярус. Песчаники, аргиллиты, конгломераты, брекчированные известняки.

Мегринский интрузивный комплекс

- $P_3^3-N_1$, $\pi\gamma\delta^{IV}$ — Верхний олигоцен-нижнемиоценовая формация порфировидных гранитов и гранодиоритов (IV) порфировидные гранодиориты ($\pi\gamma\delta^{IV}$)

Верхнеэоцен-олигоценовая габбро-грано-диорит гранитовая формация (III)

- $P_2^3-P_3$: $q\nu\pi_2^{III}$, $\delta\pi_2^{III}$, $q\delta_2^{III}$, $\gamma\delta\pi_2^{III}$, $x\delta_2^{III}$, $P\gamma_1^{III}$ — Дайки позднего этапа (2) диабазовые порфириты ($q\nu\pi_2^{III}$), диоритовые порфириты ($\delta\pi_2^{III}$), кварцевые диориты ($q\delta_2^{III}$), грано-диорит порфириты ($\gamma\delta\pi_2^{III}$), керсантиты, спесартиты одиниты ($x\delta_2^{III}$); Дайки раннего этапа (1), аплит граниты ($P\gamma_1^{III}$)
- $P_2^3-P_3$: $\pi\varepsilon\gamma_4^{III}$, $\varepsilon\gamma_3^{III}$, $l\gamma\xi_3^{III}$, $\gamma\xi_3^{III}$, $l\gamma_3^{III}$, $l\gamma\delta_2^{III}$, $\gamma\delta_2^{III}$, $q\delta_2^{III}$, $l\nu_1^{III}$, ν_1^{III}, $б_1^{III}$ — Интрузивные породы: четвертая фаза (4), порфировидные щелочные граниты ($\pi\varepsilon\gamma_4^{III}$); Третья фаза (3) субщелочные граниты ($\varepsilon\gamma_3^{III}$), лейкократовые грано-сиениты ($l\gamma\xi_3^{III}$), грано-сиениты ($\gamma\xi_3^{III}$), лейкократовые граниты ($l\gamma_3^{III}$), Вторая фаза (2), лейкократовые грано-диориты ($l\gamma\delta_2^{III}$), грано-диориты ($\gamma\delta_2^{III}$), кварцевые диориты ($q\delta_2^{III}$), Первая фаза: (1) лейкократовые габбро ($l\nu_1^{III}$), амфиболовые, амфибол-клинопироксеновые габбро (ν_1^{III}) пироксениты граналендиты ($б_1^{III}$).

Предверхнеэоценовая габбро-монцонит-сиенитовая формация (II)

- P_2^2: $\delta\pi-q\delta\pi$, $g\nu^{II}$, $a\varepsilon^{II}$, $\delta\pi^{II}$ — Субвулканические тела: кварцевые и бескварцевые диорит порфириты ($\delta\pi-q\delta\pi$); дайки диабазов ($g\nu^{II}$) андезито-дацитов ($a\varepsilon^{II}$); диоритовых порфиритов ($\delta\pi^{II}$)
- P_2^2: $\varepsilon\xi_3^{II}$, $q\nu\xi\delta_2^{II}$, $\nu\xi\delta_2^{II}$, $\nu\xi_2^{II}$, $\varepsilon\nu_1^{II}$, $ol\nu_1^{II}$ — Интрузивные породы. Третья фаза (3) щелочные сиениты ($\varepsilon\xi_3^{II}$), Вторая фаза (2) кварцевые монцо-диориты ($q\nu\xi\delta_2^{II}$), монцо-диориты ($\nu\xi\delta_2^{II}$), монцониты ($\nu\xi_2^{II}$), субщелочные габбро ($\nu\xi_2^{II}$), Первая фаза (1) оливиновые габбро ($ol\nu_1^{II}$).
- P_2^2, $q\delta_1^I$ — Среднеэоценовая формация плагиогранитов и кварцевых диоритов. Кварцевые диориты ($q\delta_1^I$)

- Валунники, галечники (а), конгломераты (б)
- Обломки, щебень (а), брекчии (б)
- Пески (а), песчаники (б)
- Алевролиты (а), аргиллиты (б)
- Известняки (а), мергели (б)
- Травертины (а), базальты (б)
- Андезиты (а), дациты (б)
- Риолиты (а) туфы (б)
- Порфиритоиды (а) габбро (б)
- Оливиниты, пироксе
- Оливиновые габбро (а) амфиболовые габбро (б)
- Лейкократовые габбро (а) диориты (б)
- Кварцевые диориты (а) граниты (б)
- Порфировидные граниты
- Щелочные граниты (а) лейкократовые граниты (б)
- Сиениты (а) кварцевые сиениты (б)
- Щелочные сиениты (а) монцониты (б)
- Мраморизация
- Ороговикование
- Скарнирование: эпидот гранитовые скарны (ep-gr)
- Образование вторичных кварцитов.
- Метасоматические измененные породы (нерасчлененные)
- Эпидотизация (а) каолинизация (б)
- Пиритизация (а) лимонитизация (б)
- Границы между разновозрастными геологическими образованиями: а - достоверные, б - предполагаемые, в - скрытые под более молодыми образованиями, г - между одновозрастными литологическими и фациальными подразделениями

РАЗРЫВНЫЕ НАРУШЕНИЯ

- Главные: а - достоверные б - предполагаемые
- Второстепенные: а - достоверные б - предполагаемые.
- 70 — Направления падения плоскости разрывного нарушения, угол наклона
- Наклонное залегание пластов
- Места находок ископаемых остатков
- Буровые скважины на карте: в числителе глубина залегания кровли до четвертичных отложений в знаменателе глубина залегания нижнего стратиграфического подразделения, М. (K_2t, 4/300)
- Геологические границы на стратиграфической колонке
- Согласного залегания
- Залегания со стратиграфическим несогласием
- Залегания с угловым несогласием.

Управление геологии Армянской ССР		
Геолого-геофизическая экспедиция		
Геолого сьемочная партия		
Название чертежа	Геологическая карта лист J-38-45-A	
Составили:	[подписи]	Харазян Э.Х. Аллахвердян Г.И. Меликсетян Б.М. Бадалян С.А.
Копировал	[подпись]	Манукян О.А.
Чертеж N°5 лист N°2	Масштаб 1:50000	К отчету за